

πυρήνας, παρουσιάζει όμοιογένεια κατανομῆς του πετρογενετικοῦ ήλικοῦ. Ἐνῶ τὸ ἔξωτερικὸ τμῆμα, ἡ περιφέρεια, αὐτῶν τῶν σχηματισμῶν ἀποτελεῖται ἀπὸ φυλλώδη ἀκτινωτὴ δομή. Ἡ διάμετρός των είναι συνήθως 50 ἔκ. ἐως 2 μ. ἐνῶ οἱ σπανύότεροι παρόμοιοι σχηματισμοὶ μικρότερης διαμέτρου δὲν παρουσιάζουν εὔδιάκριτη ζώνωση.

Ο προσδιορισμὸς τῆς ὀρυκτολογικῆς συστάσεως του πυρήνα καὶ τῆς περιφέρειας τῶν πετρολογικῶν σχηματισμῶν ἔγινε μὲ τὴ βοήθεια μικροσκοπικῶν παρατηρήσεων καὶ ἀκτινογραφημάτων κόνεως (εἰκ. 2, 3). Ἀποδείχθηκε ὅτι ὁ πυρήνας ἀποτελεῖται ἀπὸ ἀντιγορίτη καὶ ἡ περιφέρεια ἀπὸ τάλκη, ἐνῶ συγχρόνως προσδιορίστηκε λίγος χλωρίτης καὶ στὶς δύο ζῶνες (πίν. 1). Ἐπίσης ἔξακριβώθηκε ὅτι ἡ μετάβαση ἀπὸ τὸν ἀντιγοριτικὸ πυρήνα στὴν ταλκικὴ περιφέρεια είναι ἀπότομη καὶ ἐκφράζεται μὲ σαφήνεια στὴ διαχωριστικὴ ἐπιφάνεια μεταξὺ τῶν δύο ζωνῶν. Ὁπως φάνεται ἀπὸ τὰ παρατιθέμενα ἀκτινογραφήματα, οἱ τιμές ἴσοδιάστασης (d) τῶν ἀντιστοίχων ἀναλάσσεων hkl τῶν προσδιοριζόμενων ὀρυκτῶν συμπίπτουν μὲ ἐκεῖνες τῶν σχετικῶν δειγμάτων τῆς A.S.T.M., ὁ ἀντιγορίτης μὲ τὸ 9 - 444, ὁ τάλκης μὲ τὸ 13-0558 καὶ ὁ χλωρίτης μὲ τὸ 16 - 351.

Οπως προκύπτει ἀπὸ τοὺς ὀρυκτολογικοὺς προσδιορισμούς, ὁ πυρήνας αὐτῶν τῶν πετρολογικῶν σχηματισμῶν ἔχει ἀντιγοριτικὴ σύσταση. Ἡ περαιτέρω διερεύνηση τῆς κελυφικῆς συγκρότησής των μελετήθηκε μὲ τὴ βοήθεια χημικῶν ἀναλύσεων.

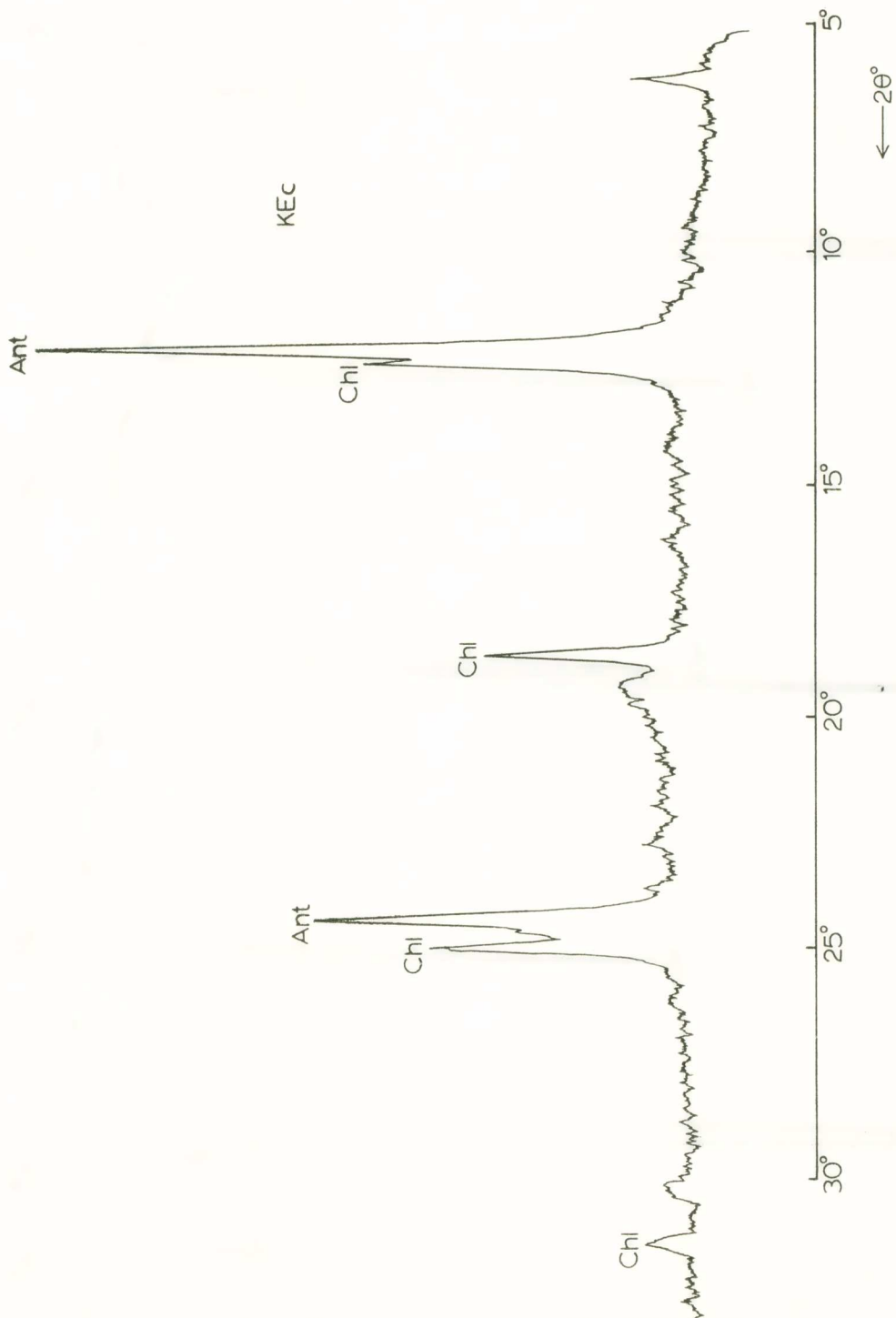
Οι χημικὲς συστάσεις του πυρήνα καὶ τῆς περιφέρειας ποὺ παρουσιάζονται μὲ δύο ἀντιπροσωπευτικὲς ἀναλύσεις στὸν πίν. 2 δείχνουν σαφεῖς διαφορές στὴν χημική τους σύσταση, μὲ ἔντονη μείωση τῆς συμμετοχῆς του Mg στὴν περιφέρεια ποὺ συνοδεύεται καὶ ἀπὸ σχετικὴ αὔξηση του Si, ἐνῶ ἡ ἀντίστοιχη αὔξηση ἡ ἐλάττωση γιὰ τὰ στοιχεῖα Ca, Al, K καὶ Fe είναι μικρότερης κλίμακας.

Ἡ ὑπαρξὴ ἀντιγοριτικοῦ πυρήνα καὶ ἡ παρουσία ὀρυκτοῦ πλούσιου σὲ Mg (τάλκης) ἐνισχύουν τὴν ἀποψην ὅτι πραγματοποιήθηκε μετακίνηση ήλικῶν.

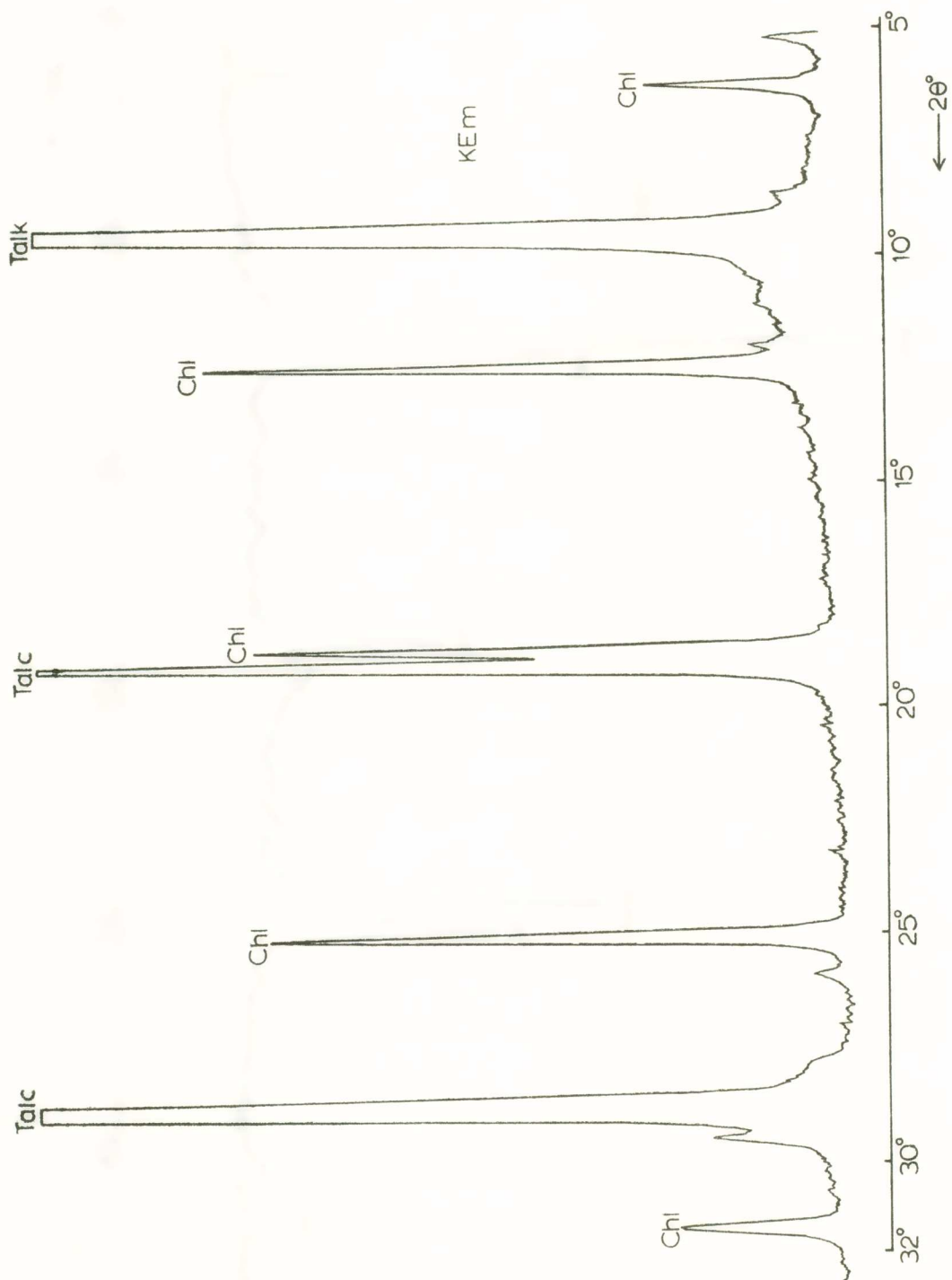
Οπως προκύπτει ἀπὸ τὴ μακροσκοπικὴ παρατήρηση, δὲν στοιχειοθετεῖται πιθανότητα μεταβολῆς του ἀρχικοῦ ὅγκου του ἀντιγοριτικοῦ σώματος κατὰ τὴ διάρκεια τῆς προαναφερομένης μεταναστεύσεως ήλικοῦ ἀπὸ καὶ πρὸς τὸ περιβάλλον. Ἐπομένως ἡ τελευταία πρέπει νὰ ἀντικατοπτρίζεται στὴν προαναφερομένη διαφορετικὴ ὀρυκτολογικὴ σύσταση του πυρήνα καὶ τῆς περιφέρειας μὲ δημιουργία τῶν ἀντιστοίχων ζωνῶν:

Ἀντιγοριτικὴ ζώνη μὲ μεγάλη συμμετοχὴ MgO ποὺ είναι ὑπόλειμμα ἐνὸς ὑπερβασικοῦ πρωτολίθου ποὺ μετασχηματίστηκε μὲ τὴν ἐπίδραση πιθανῶς ἀσθενικῆς μεταμορφώσεως.

Ταλκικὴ ζώνη, μὲ αὔξημένη συμμετοχὴ SiO₂ ποὺ σχημαστίστηκε μὲ τὴν εἰσα-



Εικ. 2. Άκτινογράφημα κόνεως πυρήνα (KEc) με άκτινοβολία CuKa
Ant = Άντιγορίτης, Chl = Χλωρίτης



Εικ. 3. Άκτινογράφημα κόνεως περιφερείας (KEM) με άκτινοβολία CuKa
Talc = Τάλκης, Chl = Χλωρίτης

Π Ι Ν Α Κ Α Σ 4

Χαρακτηριστικές τιμές d σε A° των άντιστοίχων άνακλάσεων hkl άκτινογραφημάτων των δρυκτών άντιγορίτης (1), τάλκης (2) και χλωρίτης (3).

1	2	3			
hkl	d	hkl	d	hkl	d
006	7.3081	002	9.400	001	14.382
0.0.12	3.667	004	4.686	002	7.132
206	2.506	006	3.118	003	4.766
2.0.12	2.150	132	2.597	004	3.572
	—	132,204	2.479	005	2.855
060	1.538		—		2.038
2.0.27	1.373	0.0.10	1.871		

Π Ι Ν Α Κ Α Σ 2

Χημική σύσταση πυρήνα και περιφέρειας άντιγοριτικού ξενολίθου (1 και 2 άντιστοιχα) καθώς και πηγματικού ξενιστή (3), έκφρασμένη σε lόντα.

	1	2	3
Si	21.83	26.16	35.91
Al	0.37	1.49	7.73
Fe ²⁺	4.60	3.21	0.27
Fe ³⁺	3.34	3.16	—
Mg	24.93	18.28	0.47
Ca	—	1.24	0.80
Na	0.04	0.07	3.66
K	0.02	0.04	1.37
Ti	0.01	0.01	0.04
Mn	0.15	0.19	0.01
P	0.03	0.03	0.02

γαγή πυριτίου ἀπό τὸ περιβάλλον πέτρωμα καὶ ἐξαγωγὴ MgO καὶ H₂O ἀπό τὸ ὑπερβασικὸ σῶμα.

Ἐπομένως γιὰ τὴν πορεία τῆς μετακίνησης τοῦ ὑλικοῦ προτείνεται ἡ ἀντίδραση ἀντιγορίτης + (Al + Si) προερχόμενο ἀπὸ τὸ περιβάλλον $\xrightarrow{\leftarrow}$ τάλκης + (Mg + H₂O) προσφερόμενο στὸ περιβάλλον.

Ἡ λειτουργία αὐτῆς τῆς ἀντίδρασης εἶναι σὲ ἀρμονίᾳ μὲ ἀντίστοιχη ἀντίδραση ποὺ πρότειναν οἱ Curtis καὶ Brown (1969) γιὰ σχετικὲς περιπτώσεις ὑπερβασικῶν ξενολίθων μὲ διαδοχικὰ κελύφη ἀπὸ τάλκη, ἀκτινόλιθο, χλωρίτη καὶ βιοτίτη, ὅπως καὶ μὲ τὰ ἀναφερόμενα ἀπὸ τὸν Matthews (1967) γιὰ τὴν περίπτωση μεταμορφώσεως μικρῶν ὑπερβασικῶν ὅγκων παρουσιαζομένων ἐντὸς δεξίνων ξενιστῶν πετρωμάτων.

Ἄπὸ τὸ συγκερασμὸ τῶν προαναφερομένων δεδομένων προκύπτει ἡ ἀνάγκη παραδοχῆς τῆς προϋπάρχεως ἐνὸς σερπεντινικοῦ πρωτολίθου, ποὺ ἐκφράζεται μὲ τὴν παρουσία τοῦ ἀντιγοριτικοῦ πυρήνα, δ ὅποιος ἐξαλλοιώθηκε σὲ τάλκη, λόγῳ ἐπιδράσεως τοῦ περιβάλλοντος τῆς πηγματικῆς φλέβας μὲ διεργασία μεταμορφικῆς διαφοροποιήσεως (Read and Watson, 1978).

Ἡ ἀνεύρεση αὐτῶν τῶν ἰδιομόρφων ὑπερβασικῶν σχηματισμῶν στὴν περιοχὴ Λεπτοκαρπᾶς συσχετίζεται μὲ τὴν ἄνοδο τῶν μεσοτριαδικῶν πηγματιτῶν διὰ μέσου τῶν μεταμορφωμένων ὁρίζοντων τῆς Ροδοπικῆς μάζας ἐντὸς τῶν ὅποιων ἔχει ἥδη διαπιστωθεῖ ἡ παρεμβολὴ ὑπερβασικῶν καὶ βασικῶν πετρωμάτων ὅπως ἥδη ἀναφέρθηκε. Ἀκριβῶς ἡ δυνατότητα συμπαρασυρμοῦ τεμαχῶν ὑπερβασικῶν πετρωμάτων κατὰ τὴν ἄνοδο τῶν πηγματιτῶν αἰτιολογεῖται ἀπὸ τὴν παρουσία τους ἰδιαίτερα σὲ πηγματίτες μεγάλων διαστάσεων καὶ δικαιολογεῖται ὁ χαρακτηρισμός των σὰν ξενολίθων.

S U M M A R Y

ZONED METAMORPHIC DIFFERENTIATION OF ANTIGORITIC XENOLITHES NORTHEASTERN GREECE

Zoned antigoritic bodies are discovered as xenolithes in large pegmatite veins crossing the amphibolitic rocks of the Rhodope massif. The core is mainly consisting of antigorite and the margins of talc, though some chlorite is also found in both zones. Major element variations and the mineral assemblages observed suggest, element migrations as the main zone-forming process.

ΒΙΒΛΙΟΓΡΑΦΙΑ

- C. D. Curtis and P. E. Brown, The metasomatic development of zoned ultrabasic bodies in Unst Shetland. *Contr. Miner. and Petrol.*, 24:275 - 292, 1969.
- D. W. Matthews, Zoned ultrabasic bodies in the Lewisian of the Moine Nappe in Skye. *Scott. J. Geol.*, 3(1):17 - 33, 1967.
- Read, H. H. and J. Watson, Introduction to Geology, Vol 1. The Macmillan Press LTD, London, 1978.
- C. Sideris, C. Economou, Th. Marcopoulos, Alteration hydrothermale d'une plutonite dans la région des mines d'Aghios Philippou, Kirki (Grèce du Nord) *Sci. Geol. Bull.*, 33,2:103 - 110, 1980.